

εξ

ΜΕΛΕΤΗ ΚΑΙ ΥΠΟΛΟΓΙΣΜΟΣ ΤΟΥ ΥΔΡΟΑΟΓΙΚΟΥ ΙΣΟΖΥΓΙΟΥ
ΤΗΣ ΠΕΔΙΝΗΣ ΠΕΡΙΟΧΗΣ ΚΟΜΟΤΗΝΗΣ ΜΕ ΤΟΝ ΥΠΟΛΟΓΙΣΜΟ
ΤΩΝ ΠΑΡΑΜΕΤΡΩΝ ΤΗΣ ΠΡΑΓΜΑΤΙΚΗΣ PE(mm)
ΚΑΙ ΔΥΝΗΤΙΚΗΣ AE(mm) ΕΞΑΤΜΙΣΙΔΙΑΠΝΟΗΣ
ΜΕ ΤΗ ΜΕΘΟΔΟ ΤΟΥ THORNTHWAITE & MATHER.

Από

Κ. Ν. ΝΙΤΣΙΟΥ - Ε. Σ. ΤΣΟΥΚΑΛΑ

(Τομέας Γεωλογίας - Φυσικής Γεωγραφίας του Α.Π.Θ. 12/10/83).

Abstract: *Equation of the hydrological balance of the field area of Komotini was reported in the work, after the potential AE(mm) and the real PE(mm) evaporation-transpiration had been specified in respect to the temperature values and atmosphaere precipitations of an observation period about 30 years applying the Thornthwaite form. The changes of the water reserves of the ground needed for the vegetation needs were ealculated, the shortage and excess of the water, which lead us to the diagramm picture of the hydrological balance of the area.*

1. ΕΙΣΑΓΩΓΗ

Σκοπός της παρούσης έργασίας είναι ή μελέτη και ο υπολογισμός του άνδρολογικού ισοζυγίου τμήματος της πεδινής περιοχής Κομοτηνής με τὸν υπολογισμὸν τῶν παραμέτρων:

- α) τῆς μηνιαίας δυνητικῆς ἔξατμισιδιαπνοῆς AE(mm),
- β) τῆς μηνιαίας πραγματικῆς ἔξατμισιδιαπνοῆς PE(mm) καὶ
- γ) τῶν ὀλικῶν κατακρημνισμάτων ποὺ θὰ ἀκολουθήσουν τὴν ἀπορροὴ καὶ κατείσδυση.

‘Η δλη πορεία τῆς έργασίας, ποὺ στηρίζεται στον τύπο τοῦ THORNTHWAITE (1955), ἀποβλέπει στὴν ἐκτίμηση τοῦ άνδρολογικοῦ ισοζυγίου (σχ. 2) γιὰ τὴν ἔξαγωγὴ συμπερασμάτων ποὺ ἔχουν σχέση μὲ τὴ βλάστηση καὶ τὸ κλίμα τῆς περιοχῆς.

2. ΓΕΩΛΟΓΙΚΑ ΣΤΟΙΧΕΙΑ ΤΗΣ ΖΩΝΗΣ ΡΟΔΟΠΗΣ

‘Η μελετούμενη περιοχή άνήκει στη ζώνη της Ροδόπης ή Μάζα Ρίλα-Ροδόπης. Πρόκειται για τὴν πιὸ ἀνατολικὴ γεωτεκτονικὴ ζώνη τοῦ Ἑλληνικοῦ χώρου ποὺ ἐκτείνεται ἀπὸ τὸ Στρυμώνα μέχρι τὴ Θράκη. Τὰ πετρώματα ποὺ τὴν ἀποτελοῦν εἰναι κρυσταλλοσχιστώδη καθώς καὶ νεότερα ίζηματα ἀλπικῆς ήλικίας.

Τὰ σπουδαιότερα κρυσταλλοσχιστώδη πετρώματα εἰναι: ‘Ορθογνεύσιοι, δόφθαλμογνεύσιοι καὶ λεπτοκοκκώδεις γνεύσιοι ποὺ ἀποτελοῦν τὴν κατώτερη σειρά. Πάνω ἀπ’ αὐτὴ ἐμφανίζονται κρυσταλλικοὶ σχιστόλιθοι δπως μαρμαρυγιακοί, χλωριτικοί, ἀμφιβολιτικοί καὶ γρανατοῦχοι ποὺ φτάνουν μερικὲς ἐκαποντάδες μέτρα. ‘Η κρυσταλλοσχιστώδης σειρὰ τελειώνει πρὸς τὰ πάνω μὲ «φυλλίτες», μὲ μέτρια ἢ ἀσθενὴ μεταμόρφωση, ποὺ εἰναι σερικιτικοί, ἀργιλικοί, ἀσβεστιτικοί καὶ χαλαζιτικοί. Μέσα σ’ αὐτοὺς παρεμβάλλονται συχνὰ μάρμαρα ἢ κρυσταλλικοὶ ἀσβεστόλιθοι (ΜΑΡΑΤΟΣ & ΑΝΔΡΟΝΟΠΟΥΛΟΣ 1964, 1965).

Στὰ κρυσταλλοσχιστώδη πετρώματα τῆς Θράκης παρεμβάλλεται σειρὰ ἀπὸ ίζινα καὶ βασικὰ μαγματικὰ πετρώματα. ‘Ἐπίσης στοὺς «φυλλίτες» διαπιστώνεται ἡ παρουσία μεταφρωμένου κροκαλοπαγοῦς ποὺ μεταβάλλεται κατὰ τὴν κατακόρυφη διεύθυνση σὲ λεπτόκοκκο φαρμίτη καὶ κλαστικὸ ἀσβεστόλιθο. Στοὺς ἀσβεστόλιθους αὐτοὺς βρέθηκαν διάφορα ἀπολιθώματα δ-πως: τρηματοφόρα, κοράλλια, ἔχινοδερμα, βρυδάνωα καὶ φύκη. Τὸ κοράλλι τοῦ γένους *Ophreolismilia* χαρακτηρίζει τὴν κατώρετη σειρὰ τῶν ἀσβεστόλιθων ὡς ἀνωτριαδική. ‘Αντίθετα τὰ τρηματοφόρα *Placopsisilina*, *Nuttuoloculina* κ.ἄ. ποὺ βρέθηκαν σὲ ἀσβεστόλιθους τῆς ἀνώτερης σειρᾶς χαρακτηρίζουν τοὺς ἀσβεστόλιθους αὐτοὺς ὡς κατωκρητιδικῆς ήλικίας.

Στὶς κρυσταλλοσχιστώδεις αὐτὲς σειρὲς διαπιστώθηκε καὶ μαγματισμὸς τριτογενοῦς ήλικίας (γρανοδιορίτης). ‘Η ραδιοχρονολόγηση τοῦ γρανοδιορίτη αὐτοῦ ἔδειξε δτὶ σχηματίστηκε στὸ τέλος τοῦ Ὀλιγόχαλινου.

‘Η στρωματογραφικὴ εἰκόνα στὸ κρυσταλλοσχιστῶδες τῆς Μάζας Ρίλα-Ροδόπης εἰναι διαφορετικὴ κατὰ τόπους, εἰκόνα ποὺ ἀλλάζει καὶ στὸ εἶδος καὶ στὸ πάχος τῶν σχηματισμῶν.

Τὰ τριτογενῆ ίζηματα, ποὺ ὑπέρκεινται ἐπικλυσιγενῶς τῶν φυλλιτῶν, ἔχουν ήλικία Ἀνωτ. Λουτήσιου-Κατ. Πριαμπονίου.

‘Ο KOPP (1969) γιὰ τὴν περιοχὴ δυτικὰ τῆς Ἀλεξανδρουπόλεως δίνει τὴν ἔξῆς διαδοχή:

Πλειο-πλειστοκαϊνικές ἀποθέσεις καὶ ἐκχύσεις.

Ηώκαινο $\left\{ \begin{array}{l} \text{'Ανδεσίτες τοῦ Πριαμπόνιου (περιοχὴ Μέστης)} \\ \text{'Ψαμμίτες τοῦ Βορικοῦ} \\ \text{'Ασβεστόλιθοι νουμμουλιτοφόροι (20-200 m)} \\ \text{'Λατυποπαγή καὶ χροκαλοπαγή (1-100 m)} \\ \text{'Ανδεσίτες τοῦ Λουτήσιου (Γιαλί, Πετρωτὰ)} \end{array} \right.$

Κατ. ἡ Μέσο Κρητιδικό: 'Ασβεστόλιθοι 'Αλίκης (μέχρι 100 m)

— 'Ασυμφωνία —

'Ανώτεροι πράσινοι σχιστόλιθοι (πάνω ἀπὸ 100 m)
Σχιστόλιθοι καὶ γραουβάκες (250 m)

Οἱ πλειο-πλειστοκαϊνικές ἀποθέσεις τῆς εὐρύτερης περιοχῆς ἀποτελοῦνται κυρίως ἀπὸ ἀργίλους καὶ ἄμμους διαφόρου συστάσεως καὶ χρωματισμοῦ μὲ φακοὺς καὶ ἐνστρώσεις ὅπὸ χροκάλες καὶ λατύπες.

Οἱ δλοκαινικοὶ σχηματισμοὶ ἀποτελοῦνται ἀπὸ σύγχρονες ἀποθέσεις ἀργίλων, ἄμμούχων ἀργίλων, ἄμμων, χαλικιῶν καὶ ἀπὸ παράκτιες ἀποθέσεις μὲ ἄμμους χροκάλες καὶ χαλίκια.

3. ΥΠΟΛΟΓΙΣΜΟΣ ΤΗΣ ΔΥΝΗΤΙΚΗΣ ΕΞΑΤΜΙΣΙΔΙΑΠΝΟΗΣ AE(mm) ΚΑΤΑ THORNTAWAITE.

Ἐφαρμόζοντας τὸν τύπο τοῦ THORNTAWAITE (1955) γιὰ τὸν ὑπολογισμὸ τῆς AE(mm), χρησιμοποιοῦμε τοὺς τύπους:

$$AE(mm) = 1.6 \left(\frac{10 T}{I} \right)^{\alpha} \quad (1)$$

$$i = \left(\frac{T}{5} \right)^{1.514} \quad (2)$$

καὶ

$$I = \sum_{n=1}^{n=12} i_n$$

ὅπου : $I = \delta$ θερμικὸς συντελεστὴς ποὺ προκύπτει ἀθροιστικὰ ἀπὸ τὶς μηνιαῖς τιμὲς τοῦ θερμικοῦ δείκτη i

$$\alpha = 6.75 \times 10^{-7} \times I^3 - 7.71 \times 10^{-5} \times I^2 + 1.79 \times 10^{-2} \times I + 0.49239$$

$T =$ ἡ μέση μηνιαία θερμοκρασία τῆς περιοχῆς.

Γιὰ τὴν ἐφαρμογὴ τῶν παραπάνω τύπων (1, 2) προτιμήσαμε μέρος τοῦ πεδινοῦ τμῆματος τῆς περιοχῆς Κομοτηνῆς, γιὰ τὸ δόποιο διαθέταμε ἀρκετὰ στοιχεῖα, τόσο βιβλιογραφικά, ἀπὸ ἔργασίες διαφόρων ἐρευνητῶν (ΚΑΡΡΑΣ, Γ., 1973, ΜΠΑΛΑΦΟΥΤΗΣ, Δ., 1977), δοῦ καὶ ἀπὸ τὶς παρατηρήσεις τοῦ μετεωρολογικοῦ σταθμοῦ τῆς Κομοτηνῆς.

Ἄπὸ τὰ δεδομένα αὐτὰ βρήκαμε τόσο τὶς μέσες ἑτήσιες τιμὲς τῶν ἀτμοσφαιρικῶν κατακρημνίσματων δοῦ καὶ τὶς ἀντίστοιχες μέσες ἑτήσιες καὶ μηνιαῖες θερμομετρικὲς τιμὲς δρισμένων γύρω περιοχῶν (Σχ. 1) ποὺ κάλυπταν τὴν περιοχὴ μελέτης.

Οἱ τιμὲς ποὺ ἐπεξεργαστήκαμε ἀποτελοῦν μέσες τιμὲς χρονικῶν παρατηρήσεων τῶν ἑτῶν 1931-1941 καὶ 1948-1968, περίοδο δηλαδὴ 30 περίπου ἑτῶν, μὲ μιὰ παύση γύρω στὰ ἑπτά ἑτη.

Τὰ μέσα ἑτήσια ἀτμοσφαιρικὰ κατακρημνίσματα στοὺς βροχομετρικοὺς σταθμοὺς παρατηρήσεως εἶναι:

Πολύανθος 715mm, Ἀσώματοι 765mm, Δύμη 765mm καὶ 664, 8mm, Καλαμόκαστρο 615mm, Θρυλόγιο 615mm, Ροδίτης 665mm, ὑψ. σημεῖο 105m, 765mm καὶ ὑψ. σημεῖο 25m, 565 mm.

Ἡ μέση μηνιαία θερμοκρασία φαίνεται στὸν πίνακα 1. Οἱ τιμὲς τῶν δεικτῶν i καὶ $S_i = I$ βρέθηκαν ἀπὸ τὸν πίνακα 2, γιὰ τὶς ἀντίστοιχες μέσες μηνιαῖες θερμοκρασίες.

Μὲ τοὺς κατάλληλους ὑπολογισμοὺς ὁ τύπος (1) τοῦ THORNTHWAITE μᾶς δίνει τὴν AE(mm) γιὰ τὴν περιοχὴ μελέτης:

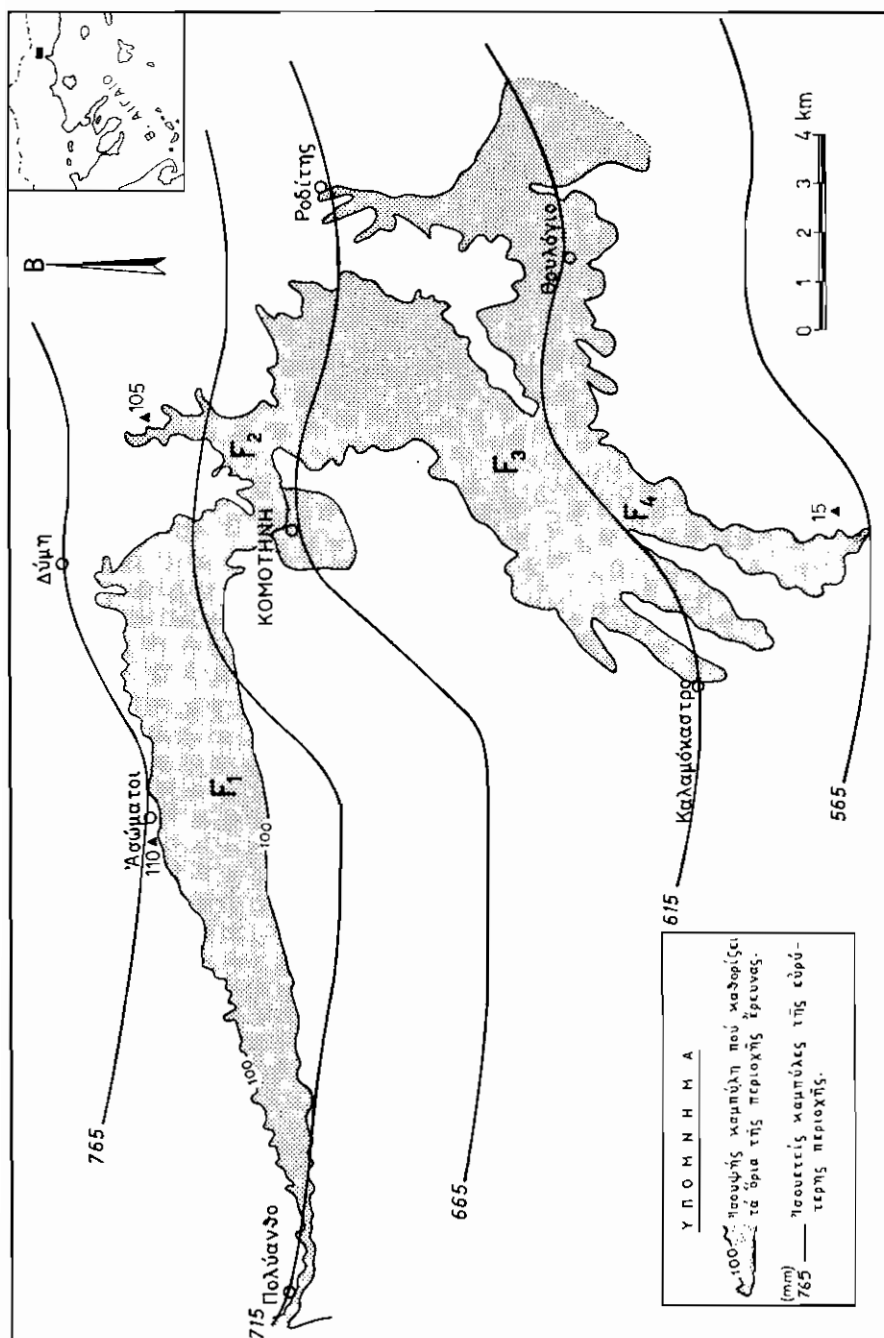
$$AE(mm) = 1.6 \left(\frac{10 T}{55.79} \right)^{1.36827} \quad (3)$$

4. ΥΠΟΛΟΓΙΣΜΟΣ ΤΗΣ ΠΡΑΓΜΑΤΙΚΗΣ ΕΞΑΤΜΙΣΙΔΙΑΠΝΟΗΣ PE(mm).

Γιὰ τὸν ὑπολογισμὸν τῆς πραγματικῆς ἔξατμισιδιαπνοῆς PE(mm) κατασκευάσαμε τὸν πίνακα (1) (ΔΗΜΟΠΟΥΛΟΣ 1979). Οἱ ἀντίστοιχες δριζόντιες στῆλες τοῦ πίνακα παρουσιάζουν τὶς μέσες μηνιαῖες τιμὲς ἐνὸς ἑτοῦς τῶν μεγεθῶν ποὺ ἀναγράφονται στὶς κάθετες στῆλες.

Ἡ πρώτη δριζόντια σειρὰ παριστάνει τὶς μέσες μηνιαῖες τιμὲς τῆς θερμοκρασίας (T) τῆς περιοχῆς μελέτης ποὺ ἔχουν ἐπεξεργασθεῖ ἀπὸ τὰ στοιχεῖα τοῦ Μετεωρολογικοῦ Σταθμοῦ Κομοτηνῆς, γιὰ μιὰ περίοδο παρατηρήσεων 30 ἑτῶν περίπου.

Στὴ δεύτερη σειρὰ ἀναγράφονται οἱ τιμὲς τοῦ μηνιαίου θερμικοῦ δείκτη (i) ποὺ λαμβάνονται ἀπὸ τὸν πίνακα 2.



Σχ. 1. Ισομήκες καμπύλες περιοχής Κομοτηνής.

‘Η τρίτη όριζόντια σειρά περιέχει τιμές τοῦ θερμικοῦ συντελεστή (I) που δίνονται ἀπὸ τὴν σχέση:

$$I = \sum_{n=1}^{n=12} \quad (4)$$

’Απὸ τὴν σχέση

$$AE(mm) = 1.6 \left(\frac{10 T}{55.79} \right)^{1.36827}$$

ὑπολογίζεται ἡ μέση μηνιαῖα δυνητικὴ ἔξατμισιδιαπνοὴ, ἀπὸ τὶς μέσες μηνιαῖες τιμές τῆς θερμοκρασίας, σὲ mm ποὺ ἀναγράφονται στὴν τέταρτη ὄριζόντια σειρά.

‘Η πέμπτη σειρά περιέχει τιμές διορθωτικὲς τῆς AE(mm) γιὰ τὸ ἀντίστοιχο γεωγραφικὸ πλάτος τῆς περιοχῆς ποὺ ἔξετάζουμε. Οἱ διορθωτικὲς τιμὲς γιὰ τοὺς ἀντίστοιχους μῆνες τοῦ ἔτους λαμβάνονται ἀπὸ τὸν πίνακα 3, γιὰ γεωγραφικὸ πλάτος $40^{\circ} 20'$.

’Απὸ τὴν σχέση:

$$AE_5(mm) = AE(mm) \times \text{συντελεστὴ διορθώσεως} \quad (5)$$

δημιουργοῦμε τὶς νέες διορθωμένες τιμὲς τῆς $AE_5(mm)$ ποὺ ἀναγράφονται στὴν 6η ὄριζόντια σειρὰ καὶ γιὰ τοὺς 12 μῆνες τοῦ ἔτους.

Στὴν ἕβδομη σειρὰ σημειώνουμε τὰ μέσα μηνιαῖα ἀτμοσφαιρικὰ κατακρημνίσματα. Ἐνώνουμε τοὺς βροχομετρικοὺς σταθμούς μας μὲ εὐθεῖες γραμμὲς σχηματίζοντας τρίγωνα. Ἀπὸ τὶς γνωστὲς μέσες μηνιαῖες τιμὲς τῶν κατακρημνισμάτων χαράσσουμε μὲ γνωστὲς μεθόδους τὶς ἰσούσετεῖς καμπύλες κάθε 50 mm. Ἐμβαδομετρώντας τὶς ἐπιφάνειες ποὺ περιέχονται μεταξὺ δύο διαδοχικῶν ἰσούσεων (Σχ. 1), βρίσκουμε τὰ μέσα ἐτήσια κατακρημνίσματα τῆς περιοχῆς μελέτης καὶ κατασκευάζουμε τὸν πίνακα 4.

‘Ο ὑπολογισμὸς τῶν μέσων ἐτήσιων κατακρημνισμάτων δίνεται ἀπὸ τὴν σχέση:

$$\bar{P}_e(mm) = \frac{\sum_{i=1}^{i=4} \bar{P}_i F_i}{\sum_{i=1}^{i=4} F_i} \quad (6)$$

ΠΙΝΑΚΑΣ 1.
 Υπολογισμὸς τῆς προγραμματικῆς ἐξατμισιδιατροῦ PE(mm) κατὰ THORNTIIWAITE.
 Διαβεσματα προθέματα νερού έθάρρους ώρον 100 mm.
 Γεωγραφικὸ πλάτος περιοχῆς ≈ 40° (40° 20').

	1	Φ	Μ	Α	Μ	Ι	Ι	Α	Σ	Ο	Ν	Δ	
1. Μέση μηνιάτια θερμοκρασία, T_{OC}	3.2	3.6	10.5	14.5	22.5	23.2	24.8	14.2	13.6	3.4			
2. Μηνιάτις δείκτης, i	0.54	0.61	3.03	3.53	3.72	9.75	10.24	9.29	5.17	4.86	4.55	0.56	
3. Θερμός συντελεσθής $\Sigma_i = I$												55.79	
4. Δυνητικὴ ἐξατμισιδιατροῦ πανοή, AE(mm)	7.4	8.7	38.0	43.0	45.40	107.8	142.4	103.2	60.7	57.4	54.1	8.1	
5. Συντελεστής διορθώσεως (σὲ σχέση μὲ τὸ γ. πλ.)	0.84	0.83	1.03	1.44	1.25	1.26	1.27	1.19	1.04	0.96	0.82	0.80	
6. Διορθωμένη διανητικὴ ἐξατμισιδιατροῦ, $AE_0(\text{mm})$	6.2	7.2	39.4	47.7	56.3	135.8	142.7	122.8	63.4	55.4	44.3	6.4	
7. Αποστριψικὴ κατακρημνισματική, $P(\text{mm})$	85.4	47.0	50.5	42.4	53.9	49.8	27.5	26.4	36.0	65.4	84.7	101.3	
8. Μεταβολὴ τῶν ἀποθεμάτων νεροῦ τοῦ έδαφους (ΔR)	0	0	0	-5.3	-2.4	-86.0	-6.3	0	0	+10.3	+40.4	+49.3	
9. Διαθέσιμα προθέματα για τὴ βλάστηση (mm)	100	100	94.7	92.3	6.3	0	0	0	0	+10.3	+50.7	100	
10. Ενεργὴ ἐξατμισιδιατρική, $PE(\text{mm})$	6.2	7.2	39.4	47.7	56.3	135.8	33.8	26.4	36.0	55.4	44.3	6.4	494.3
11. Διαφορά AE(mm)-PE(mm)	0	0	0	0	0	0	108.5	96.4	26.7	0	0	0	0
12. Διαφορά Γ μεταξὺ $P(\text{mm})$ - $AE_0(\text{mm})$	78.9	39.8	41.4	0	0	0	0	0	0	0	0	45.6	175.7

ΠΙΝΑΚΑΣ 2.

Τιμές των μηνιαλού δεικτή, *i* (χατά THORNTHWAITE, & MATHER, 1957).

T°	.0	.1	.2	.3	.4	.5	.6	.7	.8	.9
0°	0.01	0.01	0.02	0.03	0.04	0.05	0.06	0.07
1°	0.09	0.10	0.12	0.13	0.15	0.16	0.18	0.20	0.21	0.23
2°	0.25	0.27	0.29	0.31	0.33	0.35	0.37	0.39	0.42	0.44
3°	0.46	0.48	0.51	0.53	0.56	0.58	0.61	0.63	0.66	0.69
4°	0.71	0.74	0.77	0.80	0.82	0.85	0.88	0.91	0.94	0.97
5°	1.00	1.03	1.06	1.09	1.12	1.16	1.19	1.22	1.25	1.29
6°	1.32	1.35	1.39	1.42	1.45	1.49	1.52	1.56	1.59	1.63
7°	1.66	1.70	1.74	1.77	1.81	1.85	1.89	1.92	1.96	2.00
8°	2.04	2.08	2.12	2.15	2.19	2.23	2.27	2.31	2.35	2.39
9°	2.44	2.48	2.52	2.56	2.60	2.64	2.64	2.69	2.73	2.81
10°	2.86	2.90	2.94	2.99	3.03	3.03	3.12	3.16	3.21	3.25
11°	3.30	3.34	3.39	3.44	3.48	3.53	3.58	3.62	3.67	3.72
12°	3.76	3.81	3.86	3.91	3.96	4.00	4.05	4.10	4.15	4.20
13°	4.25	4.30	4.35	4.40	4.45	4.50	4.55	4.60	4.65	4.70
14°	4.75	4.81	4.86	4.91	4.96	5.01	5.07	5.12	5.17	5.22
15°	5.28	5.33	5.38	5.44	5.49	5.55	5.60	5.65	5.71	5.76
16°	5.82	5.87	5.93	5.98	6.04	6.10	6.15	6.21	6.26	6.32
17°	6.38	6.44	6.49	6.55	6.61	6.66	6.72	6.78	6.84	6.90
18°	6.95	7.01	7.07	7.13	7.19	7.25	7.31	7.37	7.43	7.49
19°	7.55	7.61	7.67	7.73	7.79	7.85	7.91	7.97	8.03	8.10
20°	8.16	8.22	8.28	8.34	8.41	8.47	8.53	8.59	8.66	8.72
21°	8.78	8.85	8.91	8.97	9.04	9.10	9.17	9.23	9.29	9.36
22°	9.42	9.49	9.55	9.62	9.68	9.75	9.82	9.88	9.95	10.01
23°	10.08	10.15	10.21	10.28	10.35	10.41	10.46	10.55	10.62	10.68
24°	10.75	10.82	10.89	10.95	11.02	11.09	11.16	11.23	11.30	11.37
25°	11.44	11.50	11.57	11.64	11.71	11.78	11.85	11.92	11.99	12.06
26°	12.13	12.21	12.28	12.35	12.42	12.49	12.56	12.63	12.70	12.78
27°	12.85	12.92	12.99	12.07	13.14	13.21	13.28	13.36	13.43	13.50

ΠΙΝΑΚΑΣ 3.

Συντελεστής διορθώσεως της AE (mm) με τη μέθοδο THORNTHWAITE, σε σχέση με τὸ γεωγραφικὸ πλάτος (κατὰ THORNTHWAITE, & MATHER, 1957).

Βόρειο γεωγρ. πλάτος	I	Φ	M	A	M	I	I	A	Σ	O	N	Δ
20°	0.95	0.90	1.03	1.05	1.13	1.11	1.14	1.11	1.02	1.00	0.93	0.94
25°	0.93	0.89	1.03	1.06	1.15	1.14	1.17	1.12	1.02	0.99	0.91	0.91
26°	0.92	0.88	1.03	1.06	1.15	1.15	1.17	1.12	1.02	0.99	0.91	0.91
27°	0.92	0.88	1.03	1.07	1.16	1.15	1.18	1.13	1.02	0.99	0.90	0.90
28°	0.91	0.88	1.03	1.07	1.16	1.16	1.18	1.13	1.02	0.96	0.90	0.90
29°	0.91	0.87	1.03	1.07	1.17	1.16	1.19	1.13	1.03	0.98	0.90	0.89
30°	0.90	0.87	1.03	1.08	1.18	1.17	1.20	1.14	1.03	0.98	0.89	0.88
..
36°	0.87	0.85	1.03	1.10	1.21	1.22	1.24	1.16	1.03	0.97	0.86	0.84
37°	0.86	0.84	1.03	1.10	1.22	1.23	1.25	1.17	1.03	0.97	0.86	0.84
38°	0.85	0.84	1.03	1.10	1.23	1.24	1.25	1.17	1.04	0.96	0.84	0.83
39°	0.85	0.84	1.03	1.11	1.23	1.24	1.26	1.18	1.04	0.96	0.84	0.82
40°	0.84	0.83	1.03	1.11	1.24	1.25	1.27	1.18	1.04	0.96	0.83	0.81
41°	0.83	0.83	1.03	1.11	1.25	1.26	1.27	1.19	1.04	0.96	0.82	0.80
42°	0.82	0.83	1.03	1.12	1.26	1.27	1.28	1.19	1.04	0.95	0.82	0.79
..
50°	0.74	0.78	1.02	1.15	1.33	1.36	1.37	1.25	1.06	0.92	0.76	0.70

ΠΙΝΑΚΑΣ 4.

Μέσες έτησιες τιμές άτμοσφαιρικών κατακρημνισμάτων στις άντίστοιχες έπιφάνειες F_1

a/a	$F_1(m^2)$	$P_1(m)$	$P_2(m)$	$\bar{P}_1(m)$	$F_1 \times \bar{P}(m^3)$
1.	11.16×10^6	0.565	0.615	0.590	6584.4×10^3
2.	25.2×10^6	0.615	0.665	0.640	16128×10^3
3.	9.10×10^6	0.665	0.715	0.690	6279×10^3
4.	20.95×10^6	0.715	0.765	0.740	15503×10^3
$F_{o\lambda} = 66.41 \times 10^6$		$V_{o\lambda} = 44494.4 \times 10^3$			

Για τὴν περιοχὴ μελέτης βρέθηκε δτι τὰ μέσα έτησια κατακρημνίσματα $P_e(\text{mm})$ εἶναι:

$$\bar{P}_e(\text{mm}) = 670(\text{mm})$$

Μὲ τὸν ἕδιο ἀκριβῶς τρόπο ύπολογίζουμε καὶ τὰ άντίστοιχα μέσα μηνιαῖα κατακρημνίσματα τῆς ἔβδομης σειρᾶς τοῦ πίνακα 1.

Ἡ δγδοη σειρὰ περιλαμβάνει τὶς τιμές μεταβολῆς τῶν ἀποθεμάτων νεροῦ τοῦ ἐδάφους ποὺ χρησιμοποιοῦν τὰ φυτὰ (βλάστηση) γιὰ τὶς ἀνάγκες τους. Θεωροῦμε γιὰ τὴν περιοχὴ τῆς μελέτης δτι τὰ διαθέσιμα ἀποθέματα νεροῦ τοῦ ἐδάφους γιὰ τὴ βλάστηση δὲν υπερβαίνουν τὰ 100 mm στήλης νεροῦ.

Ἡ τιμὴ αὐτὴ ἔξαρτάται ἀπὸ τὴν $AE(\text{mm})$ καὶ ἀπὸ τὰ άτμοσφαιρικὰ κατακρημνίσματα $P(\text{mm})$, καὶ μεταβάλλεται ἀπὸ μῆνα σὲ μῆνα. Στὸν πίνακα 1 βλέπουμε δτι τὰ άτμοσφαιρικὰ κατακρημνίσματα γιὰ τοὺς μῆνες Ἰανουάριο, Φεβρουάριο καὶ Μάρτιο εἶναι περισσότερα ἀπὸ τὴν άντίστοιχη γιὰ τοὺς παραπάνω μῆνες $AE(\text{mm})$. Ἐπόμενο εἶναι ἡ μεταβολὴ τῶν ἀποθεμάτων νεροῦ νὰ εἶναι ἵση μὲ μηδέν, τὰ δὲ διαθέσιμα ἀποθέματα νεροῦ γιὰ τὴ βλάστηση νὰ παραμένουν 100 mm (σειρὰ ἔνατη τοῦ ἕδιου πίνακα).

Γιὰ τοὺς μῆνες Μάρτιο καὶ Ἀπρίλιο ἡ $AE(\text{mm})$ εἶναι μεγαλύτερη ἀπὸ τὰ $P(\text{mm})$, μὲ τιμὲς 5.3 καὶ 2.4. Τὴν ποσότητα αὐτὴ θὰ τὴν πάρουν τὰ φυτὰ ἀπὸ τὰ ἀποθέματα νεροῦ τοῦ ἐδάφους τὸ δποῖο θὰ προσφέρει γιὰ τὴ βλάστηση $100 \cdot 5.3 = 94.7 \text{ mm}$ καὶ $94.7 - 2.4 = 92.3 \text{ mm}$ άντίστοιχα.

Οι ύπόλοιποι τέσσερις μῆνες: 'Ιούνιος, 'Ιούλιος, Αύγουστος καὶ Σεπτέμβριος συνεχίζουν νὰ διατηροῦν ίψηλές τις τιμές AE_δ (mm) σὲ σχέση μὲ τὰ P (mm):

$$135.8 - 49.8 = 86.0 \text{ mm}$$

$$142.7 - 27.5 = 115.2 \text{ mm}$$

$$122.8 - 25.4 = 97.4 \text{ mm}$$

$$63.1 - 36.4 = 26.7 \text{ mm}$$

Τὰ διαθέσιμα δμως ἀποθέματα νεροῦ τοῦ ἐδάφους ἀπὸ τοὺς προηγούμενους μῆνες 'Απρίλιο-Μάιο συνεχῶς ἐλαττώνονται. Φυσικὸ εἶναι ἡ ἐλάττωση αὐτὴ τῶν ἀποθεμάτων νεροῦ ποὺ ξοδεύτηκε γιὰ τὶς ἀνάγκες τῆς βλαστήσεως νὰ ἀποτελεῖ μερικὸ πρόβλημα γιὰ τὰ φυτὰ τῆς περιοχῆς. 'Η ἀναπλήρωση ἀρχίζει ἀπὸ τοὺς ἐπόμενους μῆνες: 'Οκτώβριο, Νοέμβριο καὶ Δεκέμβριο λόγω ἐλαττώσεως τῶν τιμῶν AE_δ (mm) καὶ αὔξησεως τῶν τιμῶν P (mm) μὲ ἀντίστοιχες τιμές πλεονάσματος:

- | | |
|-----------|-----------------|
| + 10.3 mm | τὸν 'Οκτώβριο |
| + 50.7 mm | τὸ Νοέμβριο καὶ |
| + 100 mm | τὸ Δεκέμβριο |

Οἱ παραπάνω τιμὲς συμπληρώνουν τὸ ἔλλειμμα ὑγρασίας κατὰ τοὺς μῆνες 'Οκτώβριο, Νοέμβριο καὶ Δεκέμβριο, ἐνῶ κατὰ τὸ Δεκέμβριο ἔχουμε καὶ πλεόνασμα 45,6 mm ποὺ θὰ γίνει ἀπορροὴ καὶ κατείσδυση.

'Η δέκατη δριζόντια σειρὰ περιλαμβάνει τὶς τιμὲς τῆς μέσης μηνιαίας πραγματικῆς ἔξατμισιδιαπνοῆς PE (mm). Αὐτὴ βρίσκεται:

- | | |
|------------------------------|---------------------|
| α) δταν $P > AE_\delta$ τότε | $PE = AE$ καὶ |
| β) δταν $P < AE_\delta$ τότε | $PE = P + \Delta R$ |

Στὴν ἐνδέκατη σειρὰ ἀναφέρεται ἡ διαφορὰ τοῦ ἔλλειμματος τῆς AE (mm) PE (mm), ἐνῶ στὴ δωδέκατη σειρὰ περιέχεται ἡ διαφορὰ μεταξὺ ἀτμοσφαιρικῶν κατακρημνισμάτων P (mm) καὶ τῆς δυνητικῆς ἔξατμισιδιαπνοῆς AE_δ (mm).

5. ΓΠΟΛΟΓΙΣΜΟΣ ΤΟΥ ΓΔΡΟΛΟΓΙΚΟΥ ΙΣΟΖΥΓΙΟΥ ΤΗΣ ΠΕΔΙΝΗΣ ΠΕΡΙΟΧΗΣ ΚΟΜΟΤΗΝΗΣ

'Απὸ τὴν παραπάνω περιγραφὴ (κεφάλαιο 4, πίνακας 4), ἡ ἐπιφάνεια

τῆς μελετούμενης περιοχῆς ἀνέρχεται σὲ $F_{o\lambda} = 66.41 \text{ Km}^2$. Ο δγκος του νεροῦ ποὺ πέφτει κατὰ τὴ διάρκεια του ἔτους δίνεται ἀπὸ τὴν σχέση:

$$V_{o\lambda} = \bar{P}_e \times F_{o\lambda}. \quad (7)$$

ὅπου $\bar{P}_e =$ τὰ μέσα ἐτήσια κατακρημνίσματα τῆς περιοχῆς ποὺ μελετοῦμε. "Αν ἀντικαταστήσουμε τὶς τιμὲς $\bar{P}_e = 670 \text{ mm}$ καὶ $F_{o\lambda} = 66.41 \text{ Km}^2$ θὰ πάρουμε:

$$V_{o\lambda} = 44.4944 \times 10^6 \text{ m}^3$$

"Επομένως ἡ περιοχὴ δέχεται κατὰ τὴ διάρκεια του ἔτους $44.4944 \times 10^6 \text{ m}^3$ νεροῦ.

"Απὸ τὴν ποσότητα αὐτὴ ἐνα ποσοστὸ ἀντιστοιχεῖ σὲ 494.7 mm στήλης νεροῦ, ποὺ καταναλίσκεται γιὰ τὴν ἑξατμισιδιαπνοή. "Αν V_1 εἶναι ὁ δγκος τῆς πραγματικῆς ἑξατμισιδιαπνοῆς στὴν ἀντίστοιχη ἐπιφάνεια τῆς περιοχῆς ποὺ μελετοῦμε, τότε θὰ ἔχουμε ἀπὸ τὴ σχέση:

$$V_1 = PE(\text{mm}) \times F_{o\lambda}.$$

$$\text{τιμὴ} \quad V_1 = 32.50 \times 10^6 \text{ m}^3$$

Βλέπουμε λοιπὸν δτὶ ἀπὸ τὰ $44.4944 \times 10^6 \text{ m}^3$ νεροῦ ποὺ πέφτουν στὴν περιοχὴ μας σὲ μορφὴ ἀτμοσφαιρικῶν κατακρημνισμάτων, χρειάζονται $32.50 \times 10^6 \text{ m}^3$ νεροῦ γιὰ τὶς ἀνάγκες τῶν φυτῶν, δηλαδὴ ποσότητα νεροῦ μικρότερη ἀπὸ τὴν προσφερόμενη κατά:

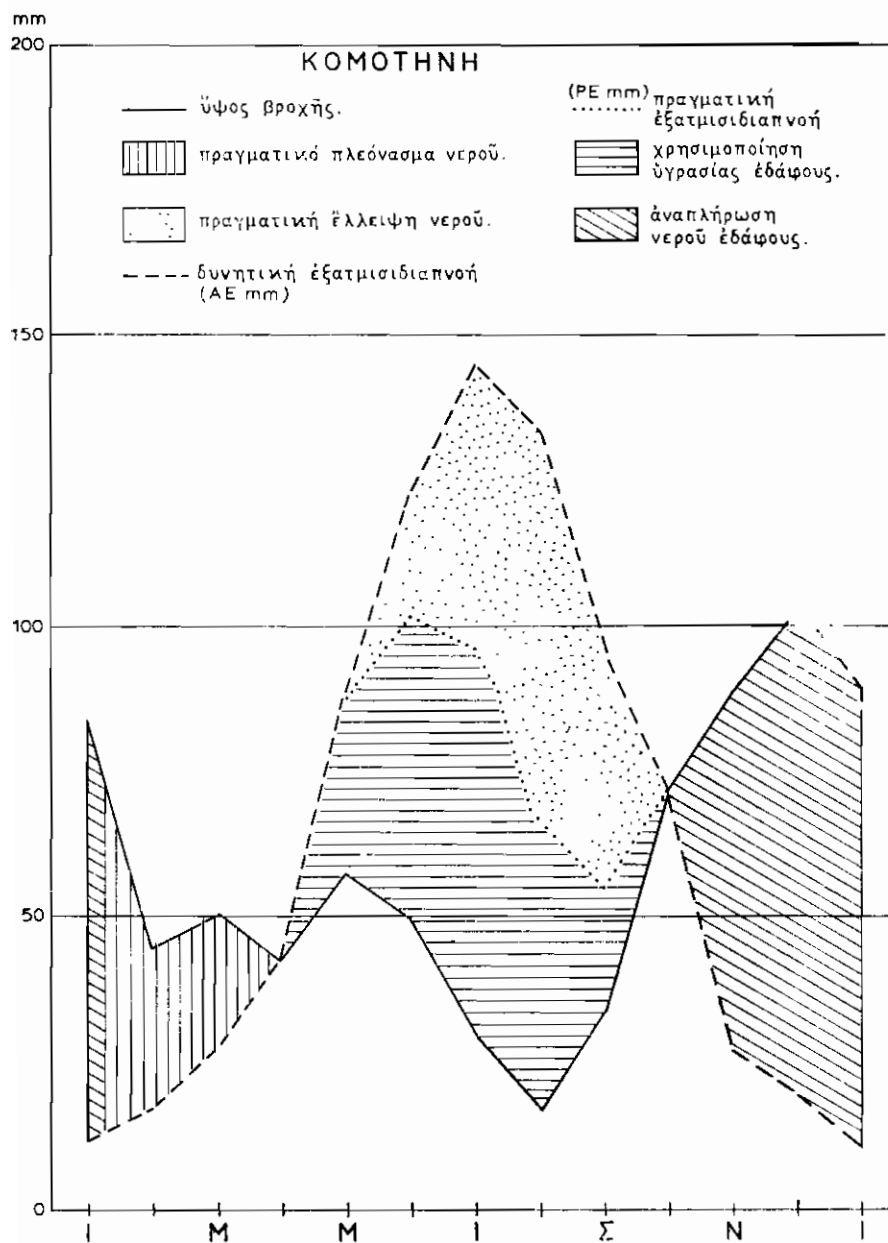
$$44.4944 \times 10^6 - 32.5 \times 10^6 = 11.9944 \times 10^6 \text{ m}^3$$

"Η ἔντονη ξηρὴ περίοδος του καλοκαιριοῦ ὀφείλεται στὴ μεγάλη ἑξατμισιδιαπνοὴ μὲ ἀποτέλεσμα νὰ ὑπάρχουν δυσμενεῖς συνθῆκες γιὰ τὴν ἀνάπτυξη τῆς βλαστήσεως. "Επίσης ὑπάρχει πλεόνασμα νεροῦ ποὺ θὰ χρησιμεύσει γιὰ κατείσδυση (I) καὶ ἀπορροὴ (A).

Στὸν πίνακα 1 σειρὰ 12 βλέπουμε ἐνα πλεόνασμα 175.7 mm ποὺ ἀντιστοιχεῖ σὲ δγκο $V_2 = 11.59 \times 10^6 \text{ m}^3$.

"Ο δγκος του νεροῦ γιὰ κατείσδυση καὶ ἀπορροὴ θὰ εἶναι:

$$I + A = 11.59 \times 10^6 \text{ m}^3 = 175.6 \text{ mm}$$



Σχ. 2. Υδρολογικό ίσοζύγιο νερού περιοχής Κομοτηνῆς.

Μὲ βάση τὰ παραπάνω μποροῦμε νὰ δημιουργήσουμε τὴν ἔξισωση τοῦ ὑδρολογικοῦ δικτύου τῆς περιοχῆς:

$$\bar{P}_e = PE(mm) + (I + A)$$

$$\bar{P}_e = PE(mm) - E \quad , \quad E = (I + A)$$

Απὸ τὶς τιμὲς τοῦ πίνακα 1 κατασκευάζουμε τὸ ὑδρολογικὸ ἴσοζύγιο τῆς περιοχῆς (Σχ. 2).

6. ΣΥΜΠΕΡΑΣΜΑΤΑ

Ο ὑπολογισμὸς τοῦ ὑδρολογικοῦ ἴσοζύγιου, μὲ τὸν τύπο τοῦ THORN-THWAITE & MATHER μᾶς βοηθᾶ τόσο στὸν ἐπιμέρους ὑπολογισμὸν τῆς μέσης μηνιαίας πραγματικῆς ἔξατμοισιδιαπνοῆς $PE(mm)$ συναρτήσει τῶν τιμῶν τῶν μέσων μηνιαίων ἀτμοσφαιρικῶν κατακρημνισμάτων, δοῦ καὶ στὸν ὑπολογισμὸν τῶν βασικῶν ἀποθεμάτων νεροῦ τοῦ ἐδάφους ποὺ ἀπαιτοῦνται γιὰ τὶς ἀνάγκες τῆς βλαστήσεως. Τὸ τελευταῖο μᾶς δίνει τὴ δυνατότητα νὰ ὑπολογίσουμε τὶς ποσότητες τοῦ νεροῦ ποὺ μᾶς λείπει καὶ μᾶς ἐπιτρέπει νὰ διατυπώσουμε τὴν ἔξισωση τοῦ ὑδρολογικοῦ ἴσοζυγίου.

ΒΙΒΛΙΟΓΡΑΦΙΑ

1. ΔΗΜΟΠΟΥΛΟΣ, Γ. (1979): 'Υπολογισμός της πραγματικής έξατμισιδιαπνοής και του ύδρολογικοῦ ισοζυγίου μιᾶς λεκάνης μέ την μέθοδο τοῦ Thornthwaite. - 'Επ. Επετ. Φ.Μ.Σ Θεσ/νίκης.
2. KOPP, K. O. (1969): Geologie Thrakiens VI. Der Coban Day (Frenk Bunar) westlich von Alexandroupolis. - Geotekt. Forsch., Bd. 31, Stuttgart.
3. ΚΑΡΡΑΣ, Γ. (1973): Κλιματική ταξινόμηση τῆς 'Ελλάδος κατά Thornthwaite. - Διδακτ. διατριβή, 'Αθήνα.
4. ΜΑΡΙΟΛΟΠΟΥΛΟΣ, Η. (1938): Τό κλίμα τῆς 'Ελλάδος, 'Αθήνα.
5. » (1936): 'Η διανομή τῶν Μετεωρολογικῶν στοιχείων ἐν 'Ελλάδι, 'Αθήνα.
6. » (1955): Άι βροχοπτώσεις ἐν 'Ελλάδι, 'Αθήνα.
7. ΜΑΡΑΤΟΣ, Γ., & ΑΝΔΡΟΝΟΠΟΥΛΟΣ, Β. (1964): Συμβολή εἰς τὸν προσδιορισμὸν τῆς ήλικίας ὅριζοντος τοῦ Κρυσταλλοσχιστώδους τῆς Ροδόπης. - Δελτ. 'Ελλ. Γεωλ. 'Εταιρ. Τομ. 6, τ. 1, 'Αθήνα.
8. ΜΑΡΑΤΟΣ, Γ. & ΑΝΔΡΟΝΟΠΟΥΛΟΣ, Β. (1964α): Νεώτερα δεδομένα ἐπὶ τῆς ήλικίας τῶν φυλλιτῶν τῆς Ροδόπης. - Δελτ. Γεωλ. 'Ετ. 'Αθήνα.
9. ΜΑΡΑΤΟΣ, Γ., & ΑΝΔΡΟΝΟΠΟΥΛΟΣ, Β. (1964β): Στρώματα Μελίας 'Αλεξανδρουπόλεως. 'Η ήλικία καὶ ἡ τοποθέτησίς των εἰς τὴν δομήν τῆς Ροδόπης. - Δελτ. 'Ελλ. Γεωλ. 'Ετ., 'Αθήνα.
10. ΜΑΡΑΤΟΣ, Γ., & ΑΝΔΡΟΝΟΠΟΥΛΟΣ, Β. (1965): 'Η ἀνευρεθεῖσα πανίς εἰς τοὺς ἀσβεστολίθους 'Αλίκης - 'Αλεξανδρουπόλεως (φυλλίτας Ροδόπης). - Δελτ. 'Ελλ. Γεωλ. 'Ετ. τ. 2, 'Αθήνα.
11. ΜΠΑΛΑΦΟΥΤΗΣ, Χ. (1977): Συμβολή εἰς τὴν μελέτην τοῦ κλίματος τῆς Μακεδονίας καὶ Δυτικῆς Θράκης. - Διδακτ. διατριβή, Θεσσαλονίκη.
12. ΠΑΠΑΖΑΦΕΙΡΙΟΥ, Ζ. (1978): Νερό καὶ ἔδαφος. - 'Εργαστήριο Γενικῆς καὶ Γεωργικῆς 'Υδραυλικῆς καὶ Βελτιώσεων. Γ.Δ.Σ. Πχν/μίου Θεσ/νίκης.
13. THORNTHWAITE, C. W. & MATHER, J. R. (1955): The Water balance-Drexel. - Inst. Technol. Publ. Climat., VIII, Nr. 1, Centerton, N. J.
14. THORNTHWAITE, C. W. & MATHER, J. R. (1957): Instructions and Tables for Computing Potential Evapotranspiration and the water Balance. - Thornthwaite ASS. Lab. of Climatology. Publ. in Climatology Vol. X, No 3.
15. ΧΡΙΣΤΟΔΟΥΛΟΥ, Γ. (1982): Στρωματογραφία τῆς 'Ελλάδος, Πάτρα.

ΠΕΡΙΛΗΨΗ

ΜΕΛΕΤΗ ΚΑΙ ΥΠΟΛΟΓΙΣΜΟΣ ΤΟΥ ΥΔΡΟΛΟΓΙΚΟΥ ΙΣΟΖΥΓΙΟΥ
ΤΗΣ ΠΕΔΙΝΗΣ ΠΕΡΙΟΧΗΣ ΚΟΜΟΤΗΝΗΣ ΜΕ ΤΟΝ ΥΠΟΛΟΓΙΣΜΟ
ΤΩΝ ΠΑΡΑΜΕΤΡΩΝ ΤΗΣ ΠΡΑΓΜΑΤΙΚΗΣ PE(mm) ΚΑΙ
ΔΥΝΗΤΙΚΗΣ AE(mm) ΕΞΑΤΜΙΣΙΔΙΑΠΝΟΗΣ ΜΕ ΤΗ
ΜΕΘΟΔΟ ΤΟΥ THORNTHWAITE & MATHER

Από

Κ. Ν. ΝΙΤΣΙΟΥ - Ε. Σ. ΤΣΟΥΚΑΛΑ

(Τομέας Γεωλογίας-Φυσικής Γεωγραφίας τοῦ Α.Π.Θ. 12.10.83)

Στήν ेργασία αύτή δόθηκε ή ̄ξισωση τοῦ ̄δρολογικοῦ ̄σοζυγίου τῆς πεδινῆς περιοχῆς Κομοτηνῆς, ἀφοῦ προσδιορίστηκε μὲ τὸν τύπο τοῦ THORNTHWAITE ή δυνητικὴ AE(mm) καὶ ή πραγματικὴ PE(mm) ̄ξατμισιδιαπνοή σὲ συσχετισμὸ μὲ τὶς τιμὲς θερμοχρασίας καὶ ἀτμοσφαιρικῶν καταρημνισμάτων μᾶς περιόδου παρατηρήσεων 30 ἔτῶν περίπου.

Ύπολογίστηκαν οἱ μεταβολὲς τῶν ἀποθεμάτων νεροῦ τοῦ ἐδάφους ποὺ χρειάζονται γιὰ τὶς ἀνάγκες τῆς βλαστήσεως, τὸ ̄λλειμμα καὶ τὸ πλεόνασμα τοῦ νεροῦ ποὺ μᾶς ὀδήγησαν καὶ στὴ διαγραμματικὴ ἀπεικόνιση τοῦ ̄δρολογικοῦ ̄σοζυγίου τῆς περιοχῆς.